

施設学校(工)○小野 博
防衛大学校(工) 大平 至徳
† (工) 山口 晴幸

1.はじめに 最近、泥炭地が地盤として活用される機会が大都市周辺でも増えて来ている。しかし、自然含水比が100%以上であることも希でない軟弱地の典型例である泥炭の圧密沈下を追求できる有効な予測手法は確立されていない。これは、粘性土に比較して泥炭の基本的圧密特性

Depth	(m)	0.6 - 1.2
Natural void ratio		5.81 - 11.3
Specific gravity		2.03 - 2.14
Ignition loss	(%)	53 - 75
Degree of humification (%)		45 - 60
Liquid limit (%)		-
Plastic limit (%)		-

Table-1

に関する報告が少なく、圧密過程で消散する間隙水圧や二次圧密特性等が種々の圧密条件の下でどのように変化するのかということ等が解明されていないことに、主に依っているものと考えられる。本文は、

前報¹⁾に引き続き、泥炭の室内圧密試験結果について検討を加えると共に、得られた実験事実をスケルエフェクトに伴う二次圧密挙動を考慮し得る安原らの沈下計算手法に組み込むことによって、泥炭の一次元圧密沈下特性の解明を試みた。

2. 実験 埼玉県大宮市郊外の利根川支流一帯に分布している泥炭地から、シンウォールチューブ^{2),3)}を人力で地盤に鉛直に貫入して採取した泥炭試料を用いた。その物理的諸性質を表-1に示す。不搅乱および練返し再圧密試料の両試料について、表-2に示す各種要因を種々に組み合せた一連の室内一次元圧密試験を実施した。なお、初期試料厚さ $H_0=2\text{cm}$ の標準圧密試験での荷重載荷期間1日を規準にして、各 H_0 での載荷期間を $(H_0/2\text{cm})^2$ とした。

3. 実験結果と考察 間隙水圧の計測を伴った泥炭の一次元圧密試験結果に関する報告は極めて少ない。図-1には、Berre⁴⁾の方法に従って、圧密セルを直列に二つ連結することによって試料中間部と底部との間隙水圧を測定して求めた圧密度(U_M, U_B)の経時変化を、また図-2,3には、平均圧密度 \bar{U} の経時変化と荷重増加率(n)および試料厚さ(H_0)との関係について示してある。図-1より、 $H_0=6\text{cm}$ であるが、中間部と底部での圧密の促進度合には明瞭な差異が見られ、中間部での過剰間隙水圧に比較的早い時期から消散を開始することがわかる。さらに、図-2,3から、一次圧密領域での過剰間隙水圧の消散状況はれの大小に依らず、排水距離($\text{試料厚さ} \times H_0$)に左右されるといふ一般的傾向が泥炭においても観測され、しかも $U \log t$ 関係が次式で表示されるTerzaghiの式によて、いずれも大略的には近似できることがわかった。

$$\Delta U'_v = \Delta U_0 \left\{ 1 - \sum_{m=1}^{\infty} \frac{2}{M} \sin \left(\frac{M\pi}{H} \right) \cdot \exp(-M^2 T_v) \right\}, \quad \bar{U} = 1 - \sum_{m=1}^{\infty} \frac{2}{M^2} \exp(-M^2 T_v) \quad (1)$$

$$M = \left(\frac{2m+1}{2} \right) \pi, \quad T_v = -\frac{C_V}{H_0^2} \cdot t$$

ここに、 $\Delta U'_v$ は鉛直有効応力増分、 ΔU_0 は初期過剰間隙水圧($t=0$)、 \bar{H}_0 は有効排水長、 m は整数。また、 $\bar{H}_0 \approx 1 \sim 4.5\text{cm}$ ($H_0=2 \sim 9\text{cm}$)までの試験結果によるものであるが、図-4に示すように一次圧密終了までの時間 t_p と排水距離 \bar{H}_0 との関係は次式で近似でき、泥炭においてもニケル則がほぼ成立しているものとみなせる。 $(t_p/t_p^*) = (\bar{H}_0/\bar{H}_0^*)^2$ (2)

Sample; Undisturbed and Remolded samples
Initial sample thickness (H_0 : cm); 2, 4, 6, 9
Load increment ratio (n); 1/3, 1/2, 1, 2, 3, 4
Drainage condition; Single and Double
Back pressure (kPa); 0, 100

Table-2

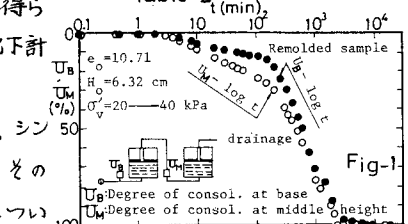


Fig-1

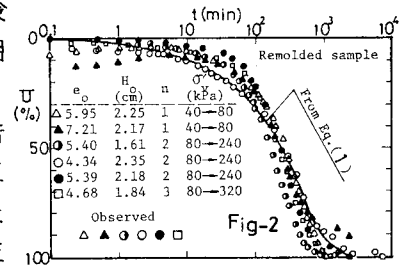


Fig-2

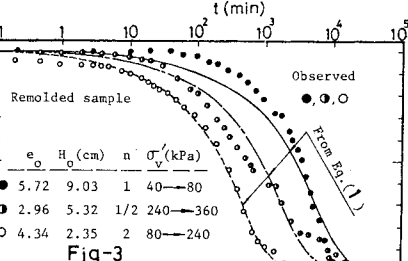


Fig-3

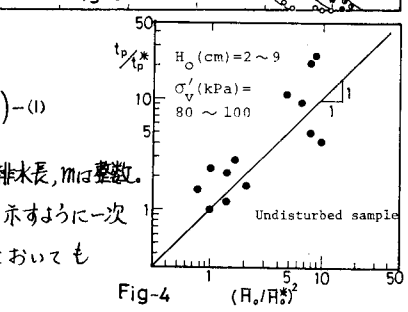


Fig-4

